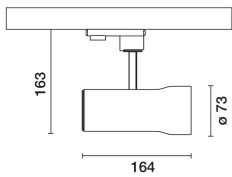


Letzte Aktualisierung der Informationen: Februar 2025

Produktkonfiguration: 247A

247A: Strahler SIPARIO Ø73 - DALI - Flood - OBReflector -



Produktcode

247A: Strahler SIPARIO Ø73 - DALI - Flood - OBReflector -

Beschreibung

Ausrichtbarer Strahler Ø73 mit Adapter zum Einbau an einer Anschlussdose oder Stromschiene mit Netzspannung. Led-Lichtquelle mit Technologie C.O.B (Chip on board) mit hoher Farbwiedergabe -CRI90- Farbton 3500K. Korpus aus Aluminiumdruckguss mit hinterem Verschluss und Stirnring aus Thermoplast (Mass-Balance). Das Produkt ermöglicht eine Drehung von 360° um die vertikale Achse mit mechanischer Arretierung und eine Neigung von 90° auf der horizontalen Ebene. Passive Wärmeableitung. System OptiBeam Reflector mit Flood-Optik. Kratzfester Reflektor aus PVD (Physical Vapour Deposition)-Aluminium, das eine herausragende Lichtausbeute garantiert. Dimmbare elektronische, in das Leuchtgehäuse integrierte DALI-2-Versorgungseinheit. Strahler mit Push&Go-System, für die schnelle und sichere Kopplung von Leuchte und optischem Zubehör. Die mechanische Abtrennung ermöglicht die sichere Auskopplung des Zubehörs ohne Fallgefahr. Die Verwendung von bis zu drei internen und einem externen Zubehör ist möglich. Sämtliche internen und externen Zubehörteile können um 360° im Verhältnis zur Längsachse des Strahlers gedreht werden.

Installation

Anschlussdose oder Stromschiene mit Netzspannung.

Farben

Weiß (01) | Matter schwarz (V0)

Gewicht (Kg)

0.64

Montage

Dreiphasenstromschienensystem

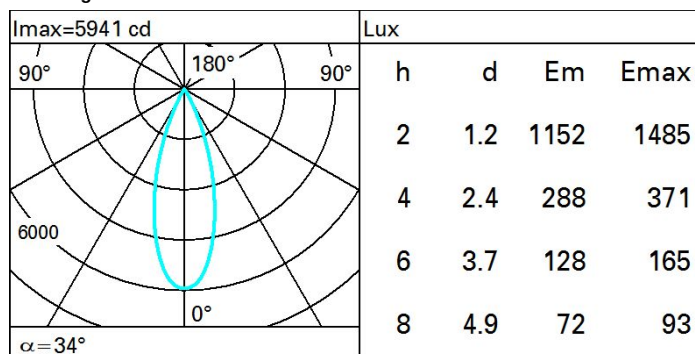
Gemäß der Normen EN60598-1 u. Sondernormen



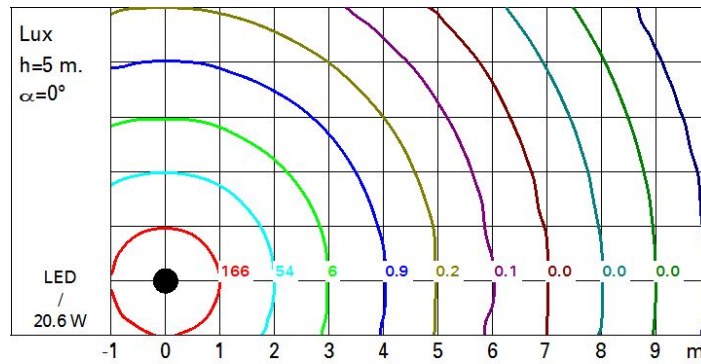
Technische Daten

| | | | |
|---|------|---------------------------------|---------------------------------|
| Im System: | 2027 | CRI (minimum): | 90 |
| W System: | 20.6 | Farbtemperatur [K]: | 3500 |
| Im Lichtquelle: | 2330 | MacAdam Step: | 2 |
| W Lichtquelle: | 18 | Lebensdauer LED 1: | > 50,000h - L90 - B10 (Ta 25°C) |
| Lichtausbeute (lm/W, Systemwert): | 98.4 | Lampencode: | LED |
| Im im Notlichtbetrieb: | - | Anzahl Lampen in Leuchtgehäuse: | 1 |
| abgegebener Lichtstrom bei/ über einem Winkel von 90° [lm]: | 0 | ZVEI-Code: | LED |
| Leuchtenbetriebswirkungsgrad 87 (L.O.R.) [%]: | | Anzahl Leuchtgehäuse: | 1 |
| Abstrahlwinkel [°]: | 34° | Control: | DALI-2 |

Polardiagramm



Isolux



UGR-Diagramm

| Corrected UGR values (at 2330 lm bare lamp luminous flux) | | | | | | | | | | | |
|---|------|------------------|------|------|------|------|----------------|------|------|------|------|
| Reflect.: | | viewed crosswise | | | | | viewed endwise | | | | |
| ceiling | cav | 0.70 | 0.70 | 0.50 | 0.50 | 0.30 | 0.70 | 0.70 | 0.50 | 0.50 | 0.30 |
| walls | | 0.50 | 0.30 | 0.50 | 0.30 | 0.30 | 0.50 | 0.30 | 0.50 | 0.30 | 0.30 |
| work pl. | | 0.20 | 0.20 | 0.20 | 0.20 | 0.20 | 0.20 | 0.20 | 0.20 | 0.20 | 0.20 |
| Room dim | | viewed crosswise | | | | | viewed endwise | | | | |
| x | y | | | | | | | | | | |
| 2H | 2H | 12.6 | 13.2 | 12.9 | 13.4 | 13.6 | 12.6 | 13.2 | 12.9 | 13.4 | 13.6 |
| | 3H | 12.5 | 13.0 | 12.8 | 13.3 | 13.5 | 12.5 | 13.0 | 12.8 | 13.3 | 13.5 |
| | 4H | 12.4 | 12.9 | 12.8 | 13.2 | 13.5 | 12.4 | 12.9 | 12.8 | 13.2 | 13.5 |
| | 6H | 12.4 | 12.8 | 12.7 | 13.1 | 13.4 | 12.4 | 12.8 | 12.7 | 13.1 | 13.4 |
| | 8H | 12.3 | 12.7 | 12.7 | 13.0 | 13.4 | 12.3 | 12.7 | 12.7 | 13.1 | 13.4 |
| | 12H | 12.3 | 12.7 | 12.7 | 13.0 | 13.4 | 12.3 | 12.7 | 12.7 | 13.0 | 13.4 |
| 4H | 2H | 12.4 | 12.9 | 12.8 | 13.2 | 13.5 | 12.4 | 12.9 | 12.8 | 13.2 | 13.5 |
| | 3H | 12.3 | 12.7 | 12.7 | 13.0 | 13.4 | 12.3 | 12.7 | 12.7 | 13.0 | 13.4 |
| | 4H | 12.2 | 12.5 | 12.6 | 12.9 | 13.3 | 12.2 | 12.5 | 12.6 | 12.9 | 13.3 |
| | 6H | 12.1 | 12.4 | 12.5 | 12.8 | 13.2 | 12.1 | 12.4 | 12.5 | 12.8 | 13.2 |
| | 8H | 12.1 | 12.3 | 12.5 | 12.7 | 13.2 | 12.1 | 12.3 | 12.5 | 12.7 | 13.2 |
| | 12H | 12.0 | 12.3 | 12.5 | 12.7 | 13.1 | 12.0 | 12.3 | 12.5 | 12.7 | 13.1 |
| 8H | 4H | 12.1 | 12.3 | 12.5 | 12.7 | 13.2 | 12.1 | 12.3 | 12.5 | 12.7 | 13.2 |
| | 6H | 12.0 | 12.2 | 12.4 | 12.6 | 13.1 | 12.0 | 12.2 | 12.4 | 12.6 | 13.1 |
| | 8H | 11.9 | 12.1 | 12.4 | 12.6 | 13.1 | 11.9 | 12.1 | 12.4 | 12.6 | 13.1 |
| | 12H | 11.9 | 12.0 | 12.4 | 12.5 | 13.0 | 11.9 | 12.0 | 12.4 | 12.5 | 13.0 |
| 12H | 4H | 12.0 | 12.3 | 12.5 | 12.7 | 13.1 | 12.0 | 12.3 | 12.5 | 12.7 | 13.1 |
| | 6H | 11.9 | 12.1 | 12.4 | 12.6 | 13.1 | 11.9 | 12.1 | 12.4 | 12.6 | 13.1 |
| | 8H | 11.9 | 12.0 | 12.4 | 12.5 | 13.0 | 11.9 | 12.0 | 12.4 | 12.5 | 13.0 |
| Variations with the observer position at spacing: | | | | | | | | | | | |
| S = | 1.0H | 5.9 / -10.2 | | | | | 5.9 / -10.2 | | | | |
| | 1.5H | 8.7 / -22.8 | | | | | 8.7 / -22.8 | | | | |
| | 2.0H | 10.7 / -30.2 | | | | | 10.7 / -30.2 | | | | |